

Information



SU 508, SU 509, SU 510

2/88 (13)

Hersteller: VEB Mikroelektronik "Karl Liebknecht" Stahnsdorf

Si-npn-Darlington-Leistungsschalttransistoren

Anwendung

Wechselrichter und Gleichstromsteller bei hoher Frequenz am 380-V- und 220-V-Netz, z. B. für Wechselstrom-und Gleichstromsntriebe, statische unterbrechungsfreie Stromversorgung, Schweiß- umrichter

Besondere Merkmale

Potentialfreier Metallboden, Al₂0₃-Isolierkeramik, Dreifach-Diffusionstechnik, schnelle Invers-Leistungsdiode, Glaspassivierung, große Kriechstrecken, Schraubanschlüsse, marktübliches Montagemaß.

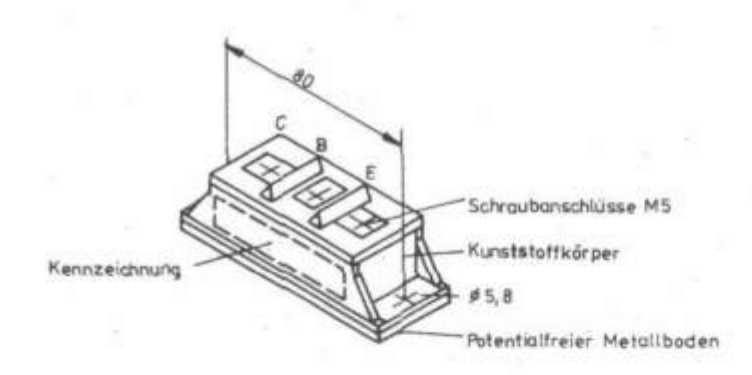


Bild 1: Darstellung mit Anschlußbelegung

Masse: max. 280 g

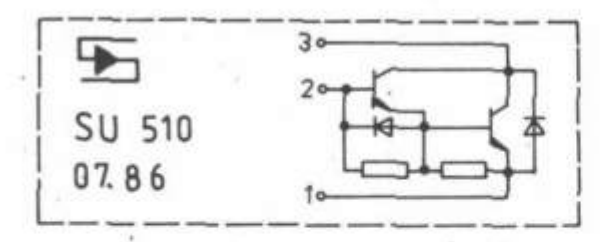


Bild 2: Kennzeichnung und Innenschaltung

Grenzwerte

(Absolutes Grenzwertsystem)

Diese Werte gelten im gesamten Bereich der Sperrschichttemperatur, wenn nichts anderes angegeben.

N 60	Kurz- zeichen		Einheit	Bemerkung
Kollektor-Emitter-	UCEV	750	V	(SU 508)
Spannung	CDV	900	v	(SU 509) U _{RE} = -2 V
		1000	V	(SU 510)
	UCEO	600	γ	(SU 508)
	220	700	v	(SU 509) $I_R = 0$
		800	V	(SU 510)
Emitter-Basis-Spannung	OEBO	7	V	
Kollektorstrom	ICSat	30	Α.	Empfohlener Wert für Normalbetrieb (Nennstrom)
	IC	30	A	*
	I _{CM}	60	A	t _p ≤ 1 ms, δ≤ 0,1
	-I _C	30	. A	Ip/IpM
	-	19170		
	-I _{CM}	60	Α.	t _p ≤ 1 ms, S≤ 0,1 der Inversdiode
Basisstrom	IB	2	A	
	IBM	4	_A	t _p ≤ 1 ms, 5≤ 0,1
Gesamtverlustleistung	P _{tot}	250	w	T _c = 25 °C
Sperrschichttemperatur	3	150	· °C	
Gehäusetemperatur	v.A.	min -25	°c	
	G	max 150	°c	
Lagerungstemperatur in der Verpackung	stg	min 5	°c	max. 1 Jahr
		mex 35	°c	
		min -40	°c	max. 1 Monat
		max 50	°c	
Anzugsdrehmoment der Befestigungsschrauben		min 4	Nm	Gewindetiefe im Aluminiumkühl-
		max 5	Nm	körper ≧ 12 mm
Anzugsdrehmoment der		min 1,8	Nm	Lochtiefe 8 mm
Schraubanschlüsse		max 2,2	Nm	

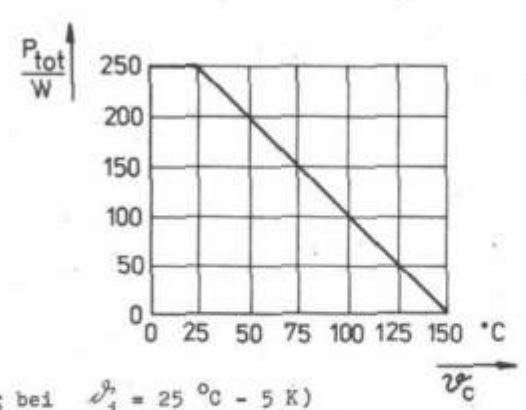


Bild 3: Verlustleistungsreduktionskurve

<u>Kennwerte</u> (gültig bei $\vartheta_{j}^{5} = 25 \, ^{\circ}\text{C} - 5 \, \text{K}$)

	Kurz- zeichen	min.	typ.	mex.		Bin	heit	Prüf- bedingungen	
Kollektor-Emitter- Durchbruchspannung	U(BR)CEO	600 700 800			15	V V	(SU 508) (SU 509) (SU 510)	$I_B = 0$, $I_C = 0.2 A$, $t_p < 1$ ms, Einzelimpuls	
Kollektor-Emitter- Reststrom	ICEA			5	-	mΑ		U _{CE} = U _{CEVmax} , U _{BE} = -2 V	
Emitter-Basis- Reststrom	IEBO			200		mA		U _{EB} = 5 V, I _C = 0	
Kollektor-Emitter- Sättigungsspannung	UCEsat			2		٧		I _C = 30 A, I _B = 1 A, t _p < 1 ms, Einzelimpula	
Basis-Emitter- Sättigungsspannung	UBEsat			2,5		٧			
Kollektor-Basis- Stromverhältnis	h _{21E}	50	90					I _C = 30 A, U _{CE} = 5 V t _p 1 ms, Einselimpuls	
Negative Kollektor- Emitter-Spannung	-U _{CE}			1,8		v		-I _C = I _P = 30 A,	
Durchlaßspannung der Inversdiode	Up			1,8		٧		t _p 1 ms, Einzelimpuls	
Sperrerholungszeit der Inversdiode	trr		0,2			/us		-I _C = I _P = 30 A, di _C /dt=-di _P /dt=100 A//u	
Sperrerholstromspitze der Inversdiode	IRM		9			A		U _{BE} = -5 V	
Speicherzeit des Kollektorstromes	t _s			15		/ ^{us}		Ohmsche Last, I _C = 30 A I _{B1} = -I _{B2} = 1 A,	
Abfallzeit des Kollektorstromes	tf			3		/ ^{us}		U _{CC} = 250 V	

	Kurz- zeichen	min.	typ.	mex.	Ein- heit	Prüfbedingungen	
Speicherzeit des Kollektorstromes	t _s	,	3,5		/us	Induktive Last, I _C = 30 A, I _{B1} = 0,8 A,-I _{B2} = 3 A, U _{CC} = 30 V,	
Abfallzeit des Kollektorstromes	tf		0,5		/us	L = 40 /uH, UCEclamp= 300 1	
Innerer Wärmewiderstand des Transistors	R _{thjc1}			0,5	K/W		
Innerer Wärmewiderstand der Inversdiode	Rthjc2			2,5	K/W		
Montagewärme- widerstand	R _{thoh}			0,2	K/W	Ebenheit ≨ 100 /um Rauhtiefe ≨ 10 /um Montagedrehmoment (4,5 ± 0,5) Nm Wärmeleitpaste z.B. NP 4401 oder P 12	
Isolations- spannung	UISOL(RMS)	2,5			kV	t = 1 min	

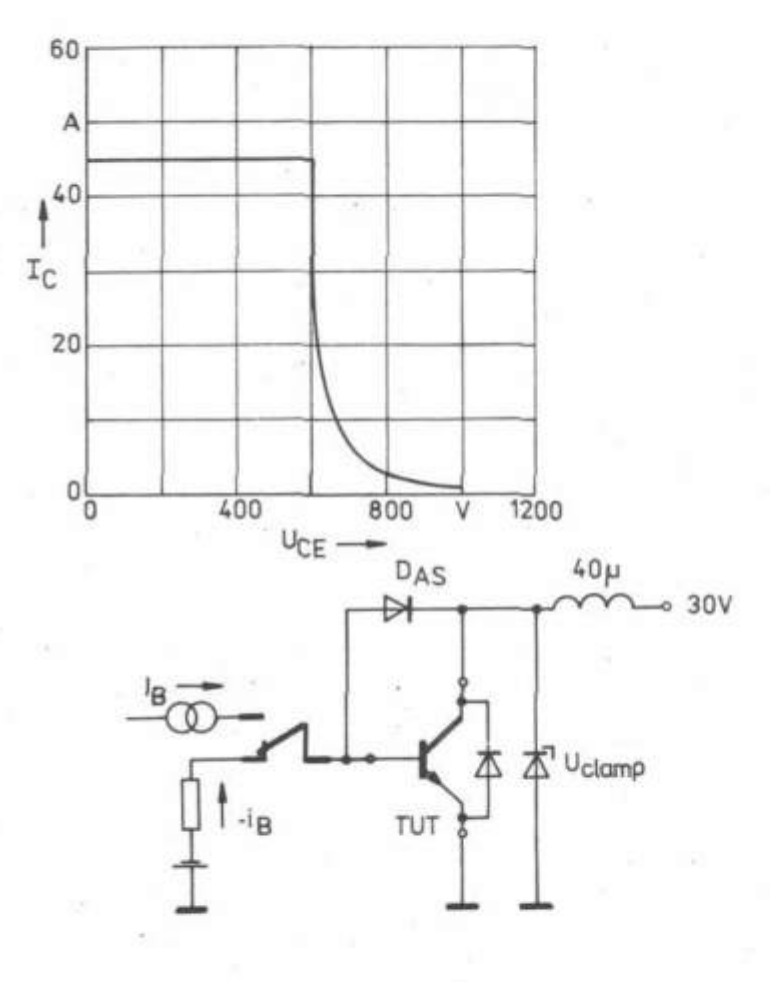


Bild 4: Höchstzulässiger Arbeitsbereich für periodisches Ausschalten (RBSOA) mit Prüfschaltung I_C/I_B > 30 A, -I_B = 2I_B, t_c ≤ 100 °C

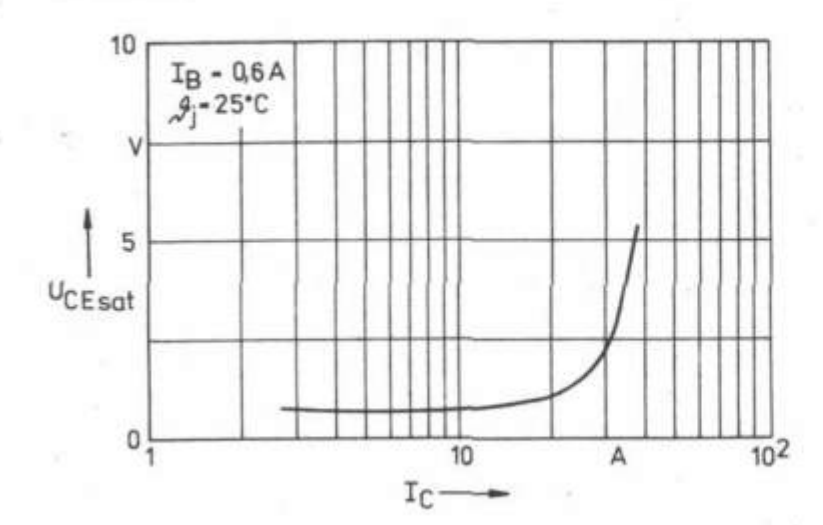


Bild 5: Kollektor-Emitter-Sättigungsspannung in Abhängigkeit vom Kollektorstrom (typ. Verlauf)

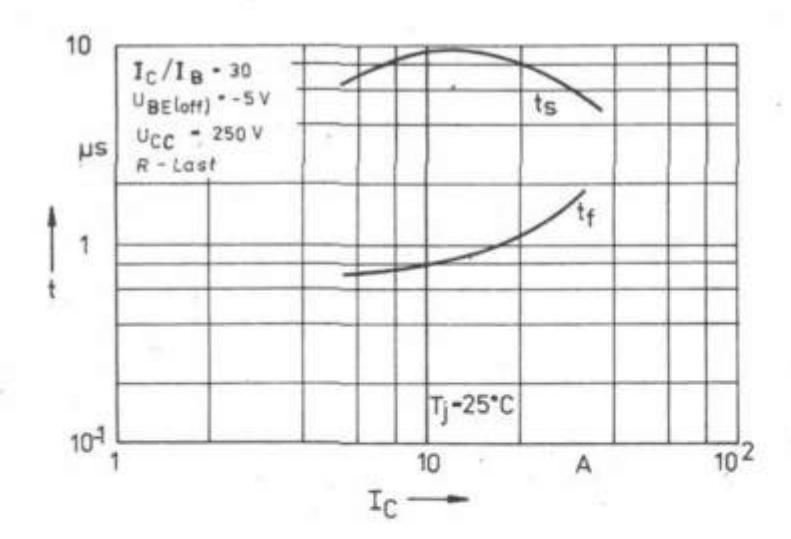


Bild 6: Schaltzeiten in Abhängigkeit vom Kollektorstrom (typ. Verlauf)

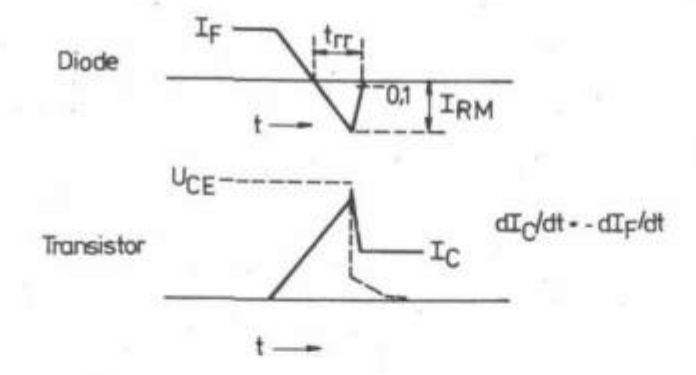


Bild 7: Zeitlicher Verlauf des Stromes beim Einschalten des Transistors auf eine leitende Freilaufdiode

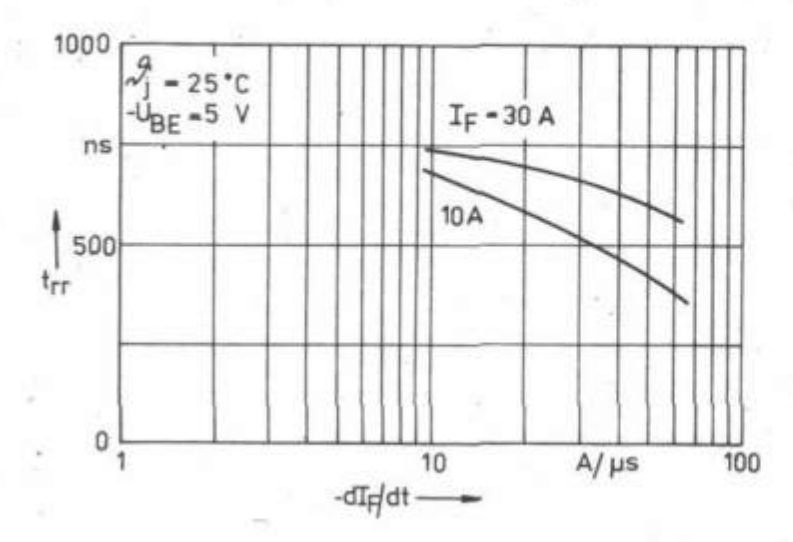


Bild 8: Sperrerholzeit in Abhängigkeit von der Abfellgeschwindigkeit des Durchlaßstromes (typ. Verleuf)

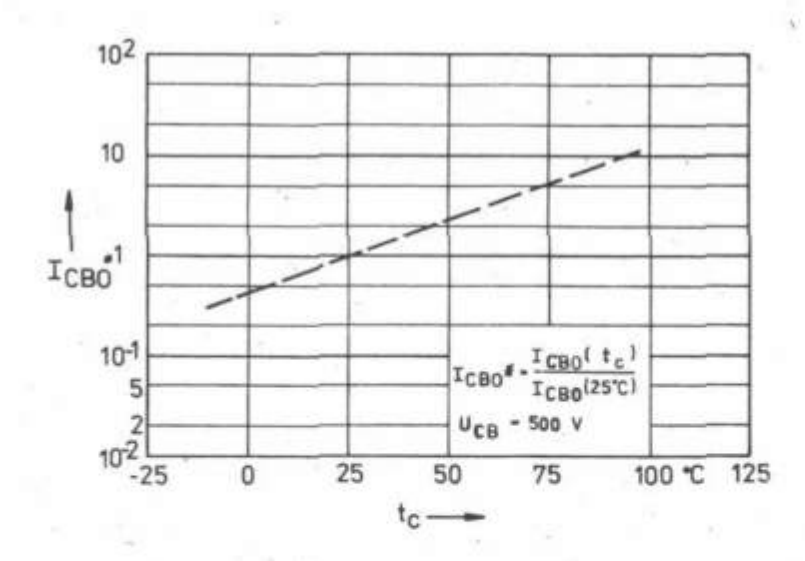


Bild 9: Relativer Kollektor-Basis-Restatrom in Abhängigkeit von der Gehäusetemperatur

Die vorliegenden Datenblätter dienen ausschließlich der Information! Es können daraus keine Liefermöglichkeiten oder Produktionsverbindlichkeiten abgeleitet werden. Änderungen im Sinne des technischen Fortschritts sind vorbehalten.



Herausgeber veb applikationszentrum elektronik berlin im veb kombinet mikroelektronik

Mainzer Straße 25 Berlin, 1035

Telefon: 5 80 05 21, Telex: 011 2981 011 3055